

# بررسی رفتار گرمایی لاکهای پودری بر پایه رزینهای پلی استر و اپوکسی - پلی استر

Study of Thermal Behavior of Polyester and Epoxy/Polyester Powder Lacquers

روزبه مافی<sup>۱</sup>، محمد رضا محمدزاده عطار<sup>۱</sup>، سید مجتبی میر عابدینی<sup>۲\*</sup>، سیامک مرادیان<sup>۱</sup>

۱- تهران، دانشگاه صنعتی امیرکبیر، دانشکده مهندسی پلیمر و رنگ، صندوق پستی ۱۵۸۷۵/۴۴۱۳

۲- تهران، پژوهشگاه پلیمر و پتروشیمی ایران، پژوهشکده فرایند، گروه رنگ و روکش‌های سطح، صندوق پستی ۱۴۹۶۵/۱۱۵

دریافت: ۸/۱۱/۲۹، پذیرش: ۸/۷/۵

## چکیده

در این پژوهش، نیمrix پخت پوشش‌های پودری بدون رنگانه بر پایه رزینهای پلی استر و اپوکسی - پلی استر با استفاده از فن DSC مورد بررسی قرار گرفته است. همچنین، با پاشش الکتروستاتیکی پودر روی سطح فولاد، خواصی از قبیل: سیالیت مقاومت در برابر خوردگی، چسبندگی و خواص فیزیکی و مکانیکی پوششها مورد بررسی قرار گرفته است. نتایج DSC نشان می‌دهد که با تغییر در برنامه زمانبندی پخت، تغییر زیادی در رفتار گرمایی پوشش‌های پودری مورد بررسی وجود نمی‌آید. حال آنکه با تغییر الگوی گرمایی پخت، خواصی از قبیل سیالیت و مقاومت در برابر خوردگی آنها تغییر می‌کند. همچنین، در نتایج خواصی مانند چسبندگی پوشش به زیرآیند و خواص فیزیکی و مکانیکی پوشش تفاوتی مشاهده نمی‌شود.

## واژه‌های کلیدی

لاکهای پودری،  
اپوکسی - پلی استر،  
پخت، سیالیت،  
پاشش مه نمک

## مقدمه

رو به رشد استفاده از این نوع پوششها در سالهای آینده نیز ادامه یابد [۲]. مشخصات و خواص فیلم پخت شده پوشش‌های پودری گرماسخت، وابسته به برنامه زمانبندی پخت است که دما و زمان پخت را شامل می‌شود. نه تنها خواص مکانیکی نظری

در سالهای اخیر پوشش‌های پودری گرماسخت به علت وضع قوانین زیست محیطی برای کاهش یا حذف حلال [۱] و نیز برخی مزایای دیگر نسبت به پوشش‌های مایع متداول [۲]، کاربردهای زیادی در صنایع پوشش دهی یافته‌اند. همچنین، پیش‌بینی می‌شود که روند

## Key Words

powder Lacquers,  
epoxy-polyester,  
curing, fluidity,  
salt spray

پلی استر و هیبرید پلی استر - اپوکسی مورد بررسی قرار گرفته است.

## تجربی

### مواد و دستگاهها

لاک پودری بر پایه هیبرید اپوکسی-پلی استر با نام تجاری EZ6001 از شرکت آکرونوبیل و لاک پودری پلی استری با نام تجاری HS 4000 از Supermel شرکت پارس الون تحت لیسانس شرکت هیوندایی تهیه گردید. برای انجام آزمون گرمایی و گرمایی مکانیکی-دینامیکی از دستگاههای DSC و DMTA ساخت شرکت پلیمر لاب انگلستان استفاده شد. پاشش لاکهای پودری با دستگاه افشاره الکتروستاتیکی مدل Staget ۴۰۵ از شرکت بینکس و آزمون پاشش مه نمک در دستگاه Spray Salt از شرکت پارس هرم، مدل S ۵۷/۷ ۱۰۹ انجام گرفت. ضخامت فیلمهای پخت شده روی زیرآیندهای فلزی با استفاده از دستگاه ضخامت سنج Elcometer ۳۴۵ از شرکت برویانسترومتس اندازه گیری شد. همچنین، برای اندازه گیری سختی نمونه های پوشش پخت شده از دستگاه سختی سنج Konig Persoz Pendulum Hardness Tester، خمس از دستگاه مندلر آزمونهای جامی شدن از دستگاه Cupping، خمس از دستگاه مندلر مدل ۳۱۲ و مقاومت در برابر ضربه از دستگاه Falling Ball استفاده شد که همه آنها ساخت شرکت اریکسن بودند.

### روشها

آزمونهای DSC به دو صورت ناهمدما و همدما انجام شد. در آزمون ناهمدما ابتدا چند میلی گرم از پودرهای پخت نشده در ظرف نمونه آلمونینیمی DSC قرار داده شد. سپس، آزمون از دمای محیط تا دمای  $250^{\circ}\text{C}$  با سرعتهای گرمادهی  $5, 10, 15$  و  $20^{\circ}/\text{min}$  انجام شد. با توجه به نتایج بدست آمده از طیف ناهمدمای DSC، نقاط شروع، میانه و انتهای پیک پخت گرمایی از عنوان نقاط موردن استفاده برای آزمایش همدما در نظر گرفته شد. مشابه روش ناهمدما، پس از توزین نمونه و قرار دادن آن در ظرف ویژه، گرمانگاشتهای DSC در حالت همدما تا رسیدن به حالتی یکنواخت در منحنی ادامه پیدا کرد.

برای بررسی خواص پوشش، با استفاده از دستگاه افشاره الکتروستاتیکی، پوشش پودری روی زیرآیندهایی از جنس فولاد نرم اعمال و طبق برنامه زمانبندی بدست آمده از آزمون DSC پخت گردید.

### آزمون جریان پذیری پودر

حدود ۱ g از پودر در درون دستگاه قرص ساز قرار گرفت و سپس، با

سختی، انعطاف پذیری و مقاومت در برابر ضربه بلکه خواص ظاهری سطح فیلم، سیالیت آن در حین تشکیل فیلم، مقاومت شیمیایی فیلم پخت شده، حفظ برآقیت و عمر کاربری پوششهای پودری نیز بطور مستقیم از فرایند پخت تأثیر می پذیرند [۱]. بنابراین، برای یک متخصص و کاربر این نوع پوششها اهمیت ویژه ای دارد که با شیوه ای مناسب، فرایند پخت را پیگیری کند تا داده های بدست آمده به درستی تفسیر شود و از آنها به عنوان اطلاعاتی مفید در فرمولبندی پوشش پودری استفاده کند.

برای دنبال کردن فرایند پخت در زمانهای متوالی و معین یا بطور مداوم و ارزیابی میزان پخت فنون مختلفی توسعه یافته است. بعضی از این روشها عبارتند از: طیف سنجی زیر قرمز (IR)، رزونانس مغناطیسی هسته (NMR)، تجزیه شیمیایی، تجزیه دی الکتریکی و اندازه گیری خواص مکانیکی مانند سختی، انعطاف پذیری و مقاومت در برابر ضربه، تعیین میزان مقاومت در برابر حلal و نرم شدگی فیلم پخت شده، گرما سنجی پویشی تفاضلی (DSC)، تجزیه گرمایشی (TG) و تجزیه گرمایی مکانیکی مانند تجزیه گرمایی مکانیکی-دینامیکی (DMTA) [۱].

بیشتر این فنون برای شناخت و پیگیری فرایند پخت پوشش پودری مناسب اند. اما از بسیاری از آنها داده های کافی و مناسب برای تفسیر کمی فرایند پخت پوشش بدست نمی آید یا اینکه نتایج بدست آمده از آنها را نمی توان بطور مستقیم به پدیده تشکیل فیلم ارتباط داد. از میان روشهای یاد شده، گرما سنجی پویشی تفاضلی جایگاه ویژه ای در بررسی سینتیک پخت بویژه در پوششها، رزینها و سایر ترکیبات پلیمری پیدا کرده است [۲-۸]. با استفاده از اطلاعات بدست آمده از DSC، می توان بهترین برنامه دما-زمان را برای رسیدن به بیشترین میزان شبکه ای شدن پوشش ارائه داد. DSC جزو آن گروه از روشهای تجزیه گرمایی است که بر پایه شناسایی اثر گرمایی نمونه موردن آزمایش است. به عبارتی، تغییرات شیمیایی-فیزیکی به عنوان تابعی از دما در نظر گرفته می شود که معمولاً به شکل خطی برنامه ریزی می شود. اصول اولیه این فن براساس تعیین انرژی لازم برای برابر نگاه داشتن دمای نمونه موردن آزمایش و نمونه مرجع است. برای بررسی سینتیک یک واکنش شیمیایی با استفاده از DSC دو روش وجود دارد: روش دینامیکی یا ناهمدما و روش ایستا یا همدما. به دلایلی در روشهای تجزیه گرمایی، از روش دینامیکی بیشتر از روش همدما استفاده می شود. زیرا آزمایش به این روش سریعتر انجام گرفته و نتایج حاصل از آن به آسانی قابل تفسیر است. همچنین، واکنش در محدوده ای وسیع از دما انجام می گیرد و چند مرحله از یک واکنش را می توان در یک آزمون مشاهده کرد [۳]. در این تحقیق، با استفاده از فن DSC در کنار آزمونهای تعیین خواص مکانیکی، پاشش مه نمک و سیالیت، رفتار پوشش پودری بر پایه رزینهای

چسبندگی قرار گرفتند. ضخامت تقریبی نمونه‌های اعمال شده در محدوده  $45 \text{ }\mu\text{m}$  با انحراف معیار  $2/5$  بود.

### آزمونهای مکانیکی

نمونه‌های پخت شده در شرایط مختلف دما - زمان مورد آزمونهای ضربه مستقیم و غیرمستقیم طبق استاندارد ASTM D ۲۷۹۴، خمش مخروطی (conical bending) مطابق با ASTM D ۵۲۲ (cupping test) بر طبق ASTM D ۴۳۶۶ و جامی شدن (ASTM D ۴۱۴۵) قرار گرفتند. آزمونهای یاد شده برای هر یک از نمونه‌ها، پنج بار تکرار گردید.

## نتایج و بحث

شکل ۱ منحنی DSC ناهمدما برای لاک پودری هیبرید اپوکسی - پلی استر و لاک پودری پلی استر با سرعت گرمادهی  $20^{\circ}\text{C}/\text{min}$  را نشان می‌دهد.

هر کدام از منحنیهای DSC، بطور مشخص دارای یک پیک گرمگیر (دمای ذوب) و یک پیک گرمaza (پخت یا شبکه‌ای شدن) هستند. با شروع گرمادهی، ابتدا یک تغییر فیزیکی گرمگیر که حاکی از ذوب شدن ذرات پودری است در نمونه‌ها انجام می‌گیرد. نتیجه این فرایند، ظهور پیکی گرمگیر در منحنیهای DSC در دماهای  $71/5^{\circ}\text{C}$  و  $71/6^{\circ}\text{C}$  است. در آزمون DSC، آنتالپی نمونه مرجع (خلالی) و نمونه مورد آزمون با یکدیگر مقایسه می‌شود. به علت اینکه در مرحله ذوب، تغییر فیزیکی با جذب گرما و بدون افزایش دما صورت می‌گیرد، بنابراین خط مبنای منحنی DSC کاهش جریان گرمایشی را نشان می‌دهد. با ادامه گرمادهی به سیستم، انرژی لازم برای انجام واکنشهای شیمیایی و شبکه‌ای شدن سیستم فراهم می‌گردد. از آنجا که واکنشهای پخت اکثر سیستمهای

اعمال فشاری برابر با  $10 \text{ ton/m}^2$ ، قرصی به ضخامت  $6 \text{ mm}$  و قطر  $9 \text{ mm}$  تهیه شد. قرصهای تهیه شده روی سطح شیشه‌ای به حالت افقی نگهداری و پس از آن مجموعه یاد شده به مدت  $30\text{s}$  در کوره در دمای  $90^{\circ}\text{C}$  قرار داده شد. پس از ذوب قرص و چسبیدن آن به سطح شیشه، مجموعه در زاویه  $65^{\circ}$  قرار داده شد [۱] و در سه برنامه دما - زمان بدست آمده از آزمایش DSC قرار گرفت. در پایان، نمونه‌های مورد آزمون از کوره خارج و پس از سرد شدن طول مسیر جریان یافته اندازه‌گیری شد. این آزمون، برای هر یک از شرایط آزمایش سه بار انجام گرفت.

### آزمونهای زمانمندی شتاب یافته

دو آزمون رطوبت و پاشش مه نمک برای ارزیابی میزان مقاومت نمونه‌های پخت شده در شرایط مختلف دما - زمان در برابر شرایط محاطی انجام گرفت. به منظور آماده‌سازی نمونه‌ها برای این آزمون، مخلوط  $3$  به  $1$  موم زنبور عسل - کلوفان تهیه و پوششی در پشت و لبه‌های نمونه ایجاد شد تا از نفوذ عوامل خورنده و ایجاد خوردگی در لبه‌ها جلوگیری شود و نیز اثر قرار گرفتن فلز در محیط پشت نمونه‌ها در بررسی میزان خوردگی ناحیه مورد نظر (فلز پوشیده شده با پوشش پودری) برطرف گردد. برای هر کدام از شرایط پخت اعمال شده در هر نمونه پودری، سه نمونه با خراش و سه نمونه بدون خراش آماده شد.

### آزمون پاشش مه نمک

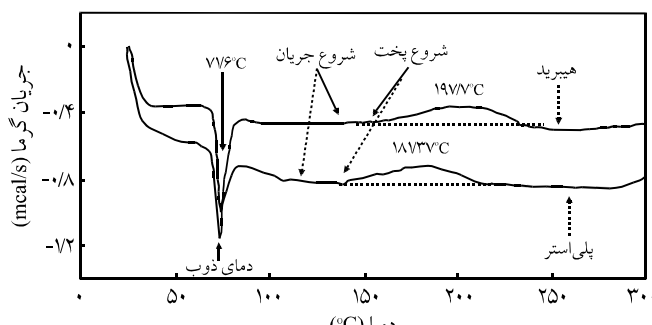
آزمون پاشش مه نمک طبق استاندارد ASTM B ۱۱۷ انجام شد. آزمون تا رؤیت اختلاف در نمونه‌ها ادامه پیدا کرد. پس از خروج نمونه‌ها از دستگاه پاشش مه نمک، سطح نمونه‌ها با آب مقطر شستشو و از نمونه‌ها عکسبرداری شد. همچنین، با استفاده از یک سطح شیشه‌ای مدرج، میزان سطح خورد شده (زنگ زده) هر نمونه اندازه‌گیری و نتایج مطابق استانداردهای ASTM D ۱۶۵۴ و ASTM D ۶۱۰ گزارش شد.

### آزمون رطوبت

مطابق با استاندارد ASTM D ۲۲۴۷، نمونه مورد آزمایش بمدت معینی در دمای  $38 \pm 2^{\circ}\text{C}$  و رطوبت نسبی  $97-100$  درصد با زاویه  $15^{\circ}$  از محور عمودی در محفظه رطوبت قرار گرفت. تغییرات چسبندگی و برآفیت نمونه‌ها پس از آزمون بررسی شد.

### آزمون چسبندگی برشی

بنابر استاندارد ASTM D ۳۳۵۹، آزمون چسبندگی برشی (cross-cut) در دو حالت پیش از قرار گرفتن در شرایط آزمون رطوبت و پس از آن انجام گرفت. فیلمهای پخت شده در دماهای مختلف مورد آزمون



شکل ۱ - گرماگاشتهای DSC ناهمدما برای لاکهای هیبرید و پلی استر با سرعت گرمادهی  $20^{\circ}\text{C}/\text{min}$ .

## جدول ۱- نتایج حاصل از آزمونهای DSC ناهمدماهی لاکهای پودری پلی استر و هیبرید.

| نوع لاک            | سرعت گرمادهی (°C/min) | دماهای ذوب (°C) | دماهای شروع (°C) | دماهای پایان (°C) | حدوده دمای پخت (°C) | حدوده زمان پخت (min) | پخت (°C) | ماکسیمم دمای پخت (mcal/mg) | سطح زیر منحنی (mcal/mg) |
|--------------------|-----------------------|-----------------|------------------|-------------------|---------------------|----------------------|----------|----------------------------|-------------------------|
| لاک پودری پلی استر | ۵                     | ۶۸/۹            | ۱۱۶              | ۱۹۸               | ۸۲                  | ۱۶/۴                 | ۱۴۷/۰    | ۲/۷۳                       | ۱۴۷/۰                   |
|                    | ۱۰                    | ۶۹/۵            | ۱۲۲              | ۲۰۴               | ۸۲                  | ۸/۲                  | ۱۷۰/۷    | ۳/۵۷                       | ۱۷۰/۷                   |
|                    | ۱۵                    | ۷۱/۳            | ۱۲۸              | ۲۲۵               | ۹۷                  | ۶/۴                  | ۱۷۵/۸    | ۳/۵۴                       | ۱۷۵/۸                   |
|                    | ۲۰                    | ۷۱/۶            | ۱۳۵              | ۲۳۲               | ۹۷                  | ۴/۹                  | ۱۸۱/۴    | ۳/۵۱                       | ۱۸۱/۴                   |
| لاک پودری هیبرید   | ۵                     | ۶۸/۹            | ۱۱۷              | ۲۰۵               | ۸۸                  | ۱۷/۷                 | ۱۵۹/۱    | ۶/۹۱                       | ۱۵۹/۱                   |
|                    | ۱۰                    | ۶۹/۵            | ۱۲۸              | ۲۲۷               | ۹۹                  | ۹/۹                  | ۱۸۴/۵    | ۶/۷۴                       | ۱۸۴/۵                   |
|                    | ۱۵                    | ۷۱/۳            | ۱۳۴              | ۲۳۴               | ۱۰۰                 | ۶/۷                  | ۱۸۸/۲    | ۷/۱۰                       | ۱۸۸/۲                   |
|                    | ۲۰                    | ۷۱/۶            | ۱۵۷              | ۲۴۱               | ۸۴                  | ۴/۲                  | ۱۹۷/۷    | ۷/۲۶                       | ۱۹۷/۷                   |

ناهمدما، از محدوده پخت سه دمای نزدیک به ماکسیمم دمای پخت برای انجام آزمون DSC همدما انتخاب شد. در این آزمون در دمای ثابت به نمونه گرماده شد و تغییرات گرمایی نمونه در برابر زمان ثبت گردید. در نتیجه، زمان پخت مناسب در دمای مشخصی بدست آمد. شکلهای ۲ و ۳ منحنیهای DSC همدما در دمای ۱۸۰°C به ترتیب برای لاکهای پودری هیبرید اپوکسی-پلی استر و پلی استر رانشان می‌دهد. همچنین، در جدول ۲ نتایج حاصل از آزمون DSC همدما برای پودرهای هیبرید و پلی استر آمده است.

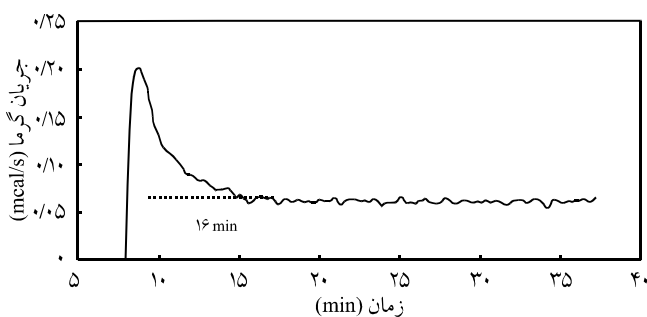
نتایج حاصل از آزمون DSC همدما نشان می‌دهد که با افزایش دمای آزمون، زمان کامل شدن واکنشهای پخت کاهش می‌یابد. بطوری که در مورد لاک پودری هیبرید، زمان ۱۸ min در دمای ۱۵۰°C به زمان ۹ min در دمای ۲۰۰°C کاهش می‌یابد.

برای اطمینان از کافی بودن میزان پخت نمونه‌های پودری در دماهای مختلف، پس از هر آزمون DSC همدما نمونه پخت شده به سرعت سرد شده و مجدداً به حالت ناهمدما گرما داده شد. شکل ۴ نمونه‌ای از منحنی ناهمدماهی پس از پخت نمونه پودری هیبرید رانشان

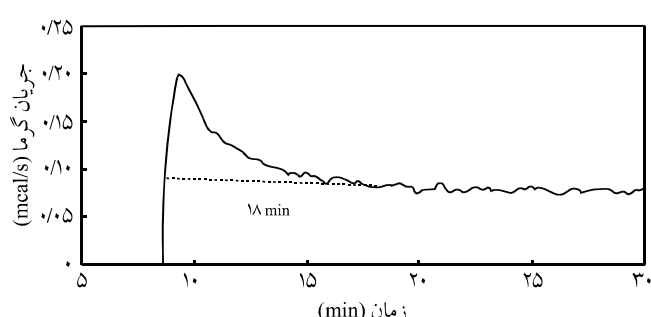
پودری گرمگیر است، بنابراین ظهور یک پیک گرمگیر در منحنیهای DSC نشان دهنده انجام واکنشهای پخت است. سطح زیر منحنیهای پخت، نشان دهنده مقدار آنتالپی این واکنشهاست. همان طور که در این منحنیها مشاهده می‌شود، واکنشهای پخت برای هر دو لاک پودری مختلف از دمای حدود ۱۵۰°C شروع و در دمای ۲۴۰°C خاتمه می‌یابد.

نتایج آزمون DSC در سرعتهای گرمادهی مختلف در جدول ۱ خلاصه شده است. مشاهده می‌شود که داده‌ها و اطلاعات بدست آمده از آزمون DSC برای لاکهای پودری هیبرید و پلی استر در سرعتهای مختلف گرمادهی متفاوت است. در سرعتهای بیشتر گرمادهی، به علت اینکه پلیمر فرصت کمتری برای ذوب دارد، دمای ذوب به دماهای بالاتر منتقل می‌شود. با گرمادهی بیشتر یک پیک گرمازا در منحنی DSC مشاهده می‌شود که نمایانگر واکنشهای پخت و نیز نقطه ماکسیمم افزایش سرعت گرمادهی، شروع واکنشهای پخت و نیز نقطه ماکسیمم در یک گرمازا به دماهای بالاتر انتقال می‌یابد، اگر چه سطح زیر منحنی پخت تغییرات کمی دارد [۵، ۸].

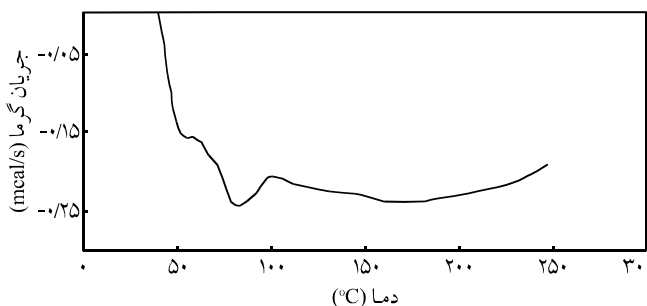
با توجه به پیکهای گرمازای مشاهده شده در منحنیهای DSC



شکل ۳- آزمون DSC همدما برای پودر هیبرید در دمای ۱۸۰°C.



شکل ۲- آزمون DSC همدما برای پودر هیبرید در دمای ۱۸۰°C.



شکل ۴- طیف DSC ناهمدمای مربوط به نمونه پخت شده در دمای ۱۵۰°C.

و صرف زمان کمتر برای واکنشهای پخت و تشکیل شبکه در نمونه های لاکهای دمای بیشتری برای ایجاد شرایط انجام واکنش، مانند غلبه بر انرژی فعال سازی، مورد نیاز است. بنابراین، به دلیل وابستگی مستقیم واکنش پخت به زمان، واکنش در دماهای بالاتری آغاز می شود و گرمای حاصل از انجام واکنش نیز در دمای بیشتری نسبت به سرعتهای گرمادهی کمتر آزاد می گردد. در نتیجه، المان گرمایی دستگاه DSC در دمای بالاتر اقدام به کاهش گرمادهی می کند که سبب ظهور یک پیک گرمایی در محدوده بالاتر در گرمانگاشت DSC می گردد. افزایش سرعت گرمادهی باعث شروع و تکمیل واکنشهای پخت در دماهای بالاتر، افزایش سرعت میزان تبدیل و نیز انتقال ماکسیمم دمای پخت به دماهای بالاتر می شود که بیشترین سرعت میزان تبدیل در این دماست.

### بررسی خواص فیزیکی و مکانیکی آزمون جریان پذیری

نتایج حاصل از بررسی میزان سیالیت پودر در جدول ۳ آمده است. نتایج نشان می دهد که با افزایش دمای پخت، میزان جریان پذیری و در نتیجه همترازی (leveling) پودر افزایش می یابد و تشکیل فیلم در زمان پخت به شکل یکنواخت تری انجام می گیرد. افزایش جریان پذیری ناشی از

جدول ۲- نتایج حاصل از آزمون DSC همدمای.

| پلی استر      | هیبرید        | نوع پوشش<br>پودری  |
|---------------|---------------|--------------------|
| شرایط پخت     |               |                    |
| ۱۶۰°C، ۲۵ min | ۱۵۰°C، ۳۰ min | دماهی آزمون و زمان |
| ۱۸۰°C، ۲۰ min | ۱۸۰°C، ۲۰ min | انجام واکنش پخت    |
| ۲۰۰°C، ۱۵ min | ۲۰۰°C، ۱۵ min |                    |

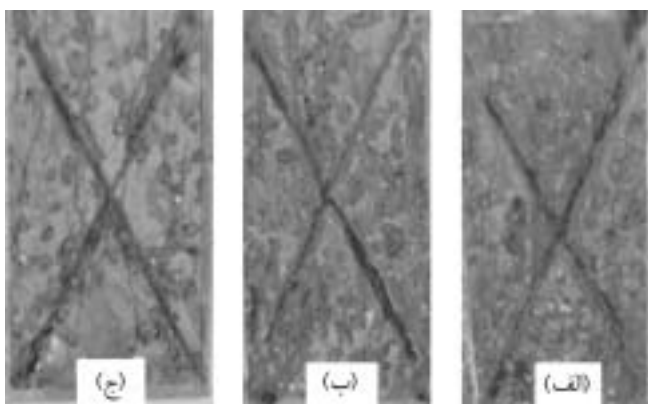
می دهد. همان طور که ملاحظه می شود، پیک گرمایی مشخصی در محدوده پخت برای نمونه مورد نظر بدست نمی آید که حاکی از عدم تغییر شیمیایی در ساختار نمونه پخت شده است. بنابراین، می توان نتیجه گیری کرد که شرایط دما - زمان برای پخت نمونه ها کافی بوده است.

با افزایش سرعت گرمادهی، دماهی ذوب، دماهی شروع پخت و ماکسیمم دمای پخت به دماهای بالاتر منتقل می شوند. بالا رفتن دمای ذوب در اثر افزایش سرعت گرمادهی ممکن است به این دلیل باشد که در سرعتهای گرمادهی بیشتر، زمان ذوب نمونه کاهش می یابد. مثلاً، در سرعت گرمادهی ۵ °C/min، نمونه در حدود ۲ min ذوب شدن فرصت دارد، در حالی که در سرعت گرمادهی ۱۰ °C/min این زمان در حدود ۱ min است. برای جریان این کاهش زمان، المان گرمایی دستگاه DSC، گرمای بیشتری به نمونه اعمال می کند تا انرژی لازم برای ذوب نمونه در مدت زمان محدودتری فراهم آید و افزایش دمای نمونه با افزایش دمای مرجع برابر گردد. همچنین، با افزایش سرعت گرمادهی، همان گونه که در جدول ۱ مشاهده می شود، محدوده زمان پخت کاهش و به دماهای بالاتر منتقل می گردد. ماکسیمم دمای پخت نیز به عنوان معیار محدوده دمای پخت در نظر گرفته می شود.

به دلیل کاهش محدوده زمان پخت در اثر افزایش سرعت گرمادهی

جدول ۳- نتایج حاصل از سیالیت لاکهای پودری پلی استر و هیبرید.

| انحراف معیار | متوسط مسیر طی شده (mm) | طول مسیر طی شده برای سه اندازه گیری (mm) | شرایط پخت | نوع لاک            |               |
|--------------|------------------------|--|-----------|--------------------|---------------|
| ۱/۴۱         | ۸۱/۰                   | ۷۹                                       | ۸۲/۵      | لاک پودری پلی استر | ۱۶۰°C، ۲۵ min |
| ۲/۳۶         | ۸۷/۷                   | ۹۱                                       | ۸۶        |                    | ۱۸۰°C، ۲۰ min |
| ۱/۶۳         | ۹۶/۲                   | ۹۴                                       | ۹۶        |                    | ۲۰۰°C، ۱۵ min |
| ۲/۸۷         | ۱۱۱/۶۷                 | ۱۱۵                                      | ۱۰۸       | لاک پودری هیبرید   | ۱۵۰°C، ۳۰ min |
| ۲/۰۵         | ۱۲۲/۳۳                 | ۱۲۲                                      | ۱۲۰       |                    | ۱۸۰°C، ۲۰ min |
| ۳/۰۹         | ۱۳۳/۶۷                 | ۱۳۱                                      | ۱۳۸       |                    | ۲۰۰°C، ۱۵ min |

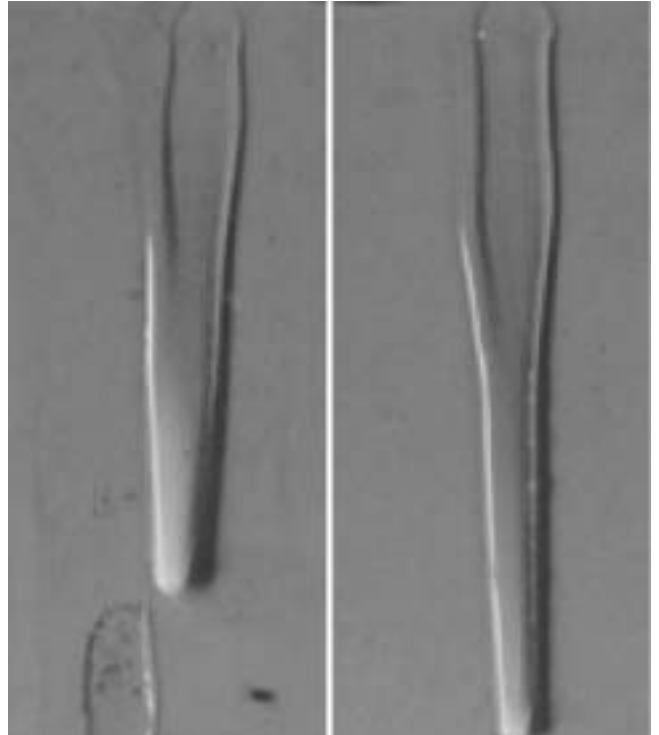


شکل ۶- حالت ظاهری نمونه های هیبرید پس از ۹۰۰ ساعت آزمون مه نمک: (الف) نمونه ۱، (ب) نمونه ۲ و (ج) نمونه ۳.

شده از لاکهای پودری با شروع واکنشهای پخت کند شده و پس از ژل شدن مذاب متوقف می شود. بنابراین، تصور می شود که در برنامه های پخت با دمای پایینتر، به دلیل فاصله زمانی بیشتر بین ذوب پودر و پخت آن، زمان جریان یافتن افزایش می یابد. اما، با توجه به نتایج بدست آمده از این آزمون بنظر می رسد که کاهش گرانزوی مذاب نسبت به زمان جریان یافتن (زمان بین ذوب پودر تا توقف جریان) اثر بیشتری بر میزان جریان پذیری پودر مذاب داشته است. شکل ۵ تصویری از نمونه پس از انجام آزمایش را نشان می دهد.

#### آزمون مه نمک

میزان مقاومت در برابر خوردگی فیلمهای حاصل، با انجام آزمون پاشش مه نمک انجام گرفت. در شکل ۶ تصاویر نمونه های پخت شده هیبرید در شرایط دما - زمان مختلف پس از انجام  $900^{\circ}\text{C}$  آزمون مه نمک نشان داده شده است. تجزیه و تحلیل حالت ظاهری نمونه ها از نظر بوجود آمدن محصولات خوردگی در زیرآیند پوشش پودری و تغییر رنگ در سطح نمونه انجام پذیرفت. نتایج بدست آمده از این بررسی در جدول ۴ برای نمونه های پودری هیبرید و پلی استر آورده شده است.



(الف)  
(ب)

شکل ۵ - جریان پذیری پودر هیبرید قرار داده شده در شرایط پخت مختلف: (الف)  $15^{\circ}\text{C}$  و  $15\text{min}$  و (ب)  $180^{\circ}\text{C}$  و  $30\text{min}$ .

کاهش گرانزوی و بهبود سیالیت پودرات.

در لاکهای پودری پلی استر و اپوکسی - پلی استر، با افزایش دمای برنامه پخت اعمال شده، طول مسیر طی شده بواسیله پودر مذاب افزایش می یابد. افزایش سرعت گرمادهی، سبب کاهش مقدار عددی حداقل گرانزوی پوشش پودری می شود. در برنامه های دما - زمان پخت لاکهای یاد شده نیز، با افزایش دما زمان پخت کوتاهتر می شود. به بیانی دیگر، افزایش سرعت گرمادهی به پودر سبب کاهش گرانزوی و جریان پذیری بیشتر در دماهای بالاتر می گردد. از سوی دیگر، در آزمون جریان پذیری مشاهده شده است که جریان یافتن قرص مذاب ساخته

جدول ۴- تجزیه و تحلیل آزمون پاشش مه نمک برای پودرهای هیبرید و پلی استر.

| پوشش پودری پلی استر |             |   | پوشش پودری هیبرید اپوکسی - پلی استر |             |   | نمک |
|---------------------|-------------|---|-------------------------------------|-------------|---|-----|
| درصد خوردگی         | درجه خوردگی | شرایط پخت                               | درصد خوردگی                         | درجه خوردگی | شرایط پخت                               |     |
| بیش از ۷۵           | •           | $160^{\circ}\text{C}$ ، $25\text{ min}$ | بیش از ۷۵                           | •           | $150^{\circ}\text{C}$ ، $30\text{ min}$ | ۱   |
| "                   | •           | $180^{\circ}\text{C}$ ، $20\text{ min}$ | بین ۷۵ تا ۵۶                        | ۱           | $180^{\circ}\text{C}$ ، $20\text{ min}$ | ۲   |
| "                   | •           | $200^{\circ}\text{C}$ ، $15\text{ min}$ | بین ۵۶ تا ۴۰                        | ۳           | $200^{\circ}\text{C}$ ، $15\text{ min}$ | ۳   |

جدول ۷ - خواص مکانیکی نمونه های پخت شده در شرایط مختلف دما - زمان.

| خواص مکانیکی |                  | شرایط پخت   |          |            | نوع نمونه |
|--------------|------------------|-------------|----------|------------|-----------|
| (mm)         | جامی شدن * (min) | ضریب (lbin) | دما (°C) | زمان (min) |           |
| ۸            | ۶۰               | ۱۵۰         | ۳۰       |            |           |
| ۸            | ۶۰               | ۱۸۰         | ۲۰       |            | هیبرید    |
| ۸            | ۶۰               | ۲۰۰         | ۱۵       |            |           |
| ۸            | ۶۰               | ۱۶۰         | ۲۵       |            |           |
| ۸            | ۶۰               | ۱۸۰         | ۲۰       |            | پلی استر  |
| ۸            | ۶۰               | ۲۰۰         | ۱۵       |            |           |

\*ارتفاع طی شده توسط گروی.

جدول ۵ - چسبندگی لاکهای پودری پلی استر و هیبرید پخت شده در شرایط مختلف دما - زمان.

| نوع لاق            | میزان چسبندگی |              |       |       |             |              | شرایط پخت نمونه | دما (°C) | زمان (min) |
|--------------------|---------------|--------------|-------|-------|-------------|--------------|-----------------|----------|------------|
|                    | پس از آزمون   | پیش از آزمون | رطوبت | رطوبت | پس از آزمون | پیش از آزمون |                 |          |            |
| لاک پودری پلی استر | ۲ b           | ۳ b          | ۲ b   | ۵ b   | ۵ b         | ۵ b          | ۱۶۰             | ۲۵       |            |
|                    | ۲ b           | ۳ b          | ۳ b   | ۵ b   | ۵ b         | ۵ b          | ۱۸۰             | ۲۰       |            |
|                    | ۳ b           | ۲ b          | ۲ b   | ۵ b   | ۵ b         | ۵ b          | ۲۰۰             | ۱۵       |            |
| لاک پودری هیبرید   | ۴ b           | ۵ b          | ۴ b   | ۵ b   | ۵ b         | ۵ b          | ۱۵۰             | ۳۰       |            |
|                    | ۴ b           | ۵ b          | ۵ b   | ۵ b   | ۵ b         | ۵ b          | ۱۸۰             | ۲۰       |            |
|                    | ۵ b           | ۴ b          | ۵ b   | ۵ b   | ۵ b         | ۵ b          | ۲۰۰             | ۱۵       |            |

است.  
در حالت خشک، چسبندگی برای تمام نمونه ها طبق استاندارد ASTM D ۳۳۵۹ برابر ۵ b است. b ۵ بدان معناست که هیچ گونه جدایش رنگ از روی سطح فلز انجام نگرفته است. نتایج آزمون های چسبندگی نیز مؤید عدم تأثیر برنامه های دما - زمان گوناگون بر خواص فیلم پخت شده لاکهای پودری پلی استر و اپوکسی - پلی استر است. این دو آزمون، پس از ۱۰۰ h آزمون رطوبت مجدداً انجام شده اند. چسبندگی هر دو نوع لاق پودری آزمایش شده، پس از آزمون رطوبت کاهش یافته است که میزان افت چسبندگی در لاق پودری پلی استر بسیار مشهودتر است. این امر ممکن است به دلیل مقاومت کمتر فیلم این لاق نسبت به لاق پودری اپوکسی - پلی استر در برابر عبور بخار آب باشد که منجر به ضعف اتصال فیلم به زیر آیند خواهد شد.

بررسی نمونه ها نشان می دهد که نمونه پخت شده در شرایط ۲۰۰ °C به مدت ۱۵ min (نمونه ۳)، از لحاظ مقاومت در برابر خوردگی نتایج بهتری را نشان می دهد. بنظر می رسد که این نتیجه، به دلیل شبکه ای شدن بهتر نمونه پودری است. حال آنکه نتایج مربوط به لاق پلی استر نشان می دهد که برنامه های مختلف پخت، فیلمهایی با مقاومت یکسان در برابر خوردگی بوجود می آورد و این امر گویای میزان شبکه ای شدن یکسان نمونه پودری پلی استر است.

چسبندگی برشی نتایج آزمون چسبندگی برشی لاکهای پودری پلی استر و اپوکسی - پلی استر در برنامه های دما - زمان مختلف پخت، پیش و پس از آزمون گرفتن به مدت ۱۰۰۰ h در شرایط آزمون رطوبت در جدول ۵ ارائه شده

جدول ۶ - میزان سختی لاکهای پودری هیبرید و پلی استر بدست آمده از دستگاه آونگکی.

| انحراف معیار | متوسط عددی | دفعات اندازه گیری |     |     |     |     | شرایط پخت نمونه |            | نوع لاق            |
|--------------|------------|-------------------|-----|-----|-----|-----|-----------------|------------|--------------------|
|              |            | ۵                 | ۴   | ۳   | ۲   | ۱   | دما (°C)        | زمان (min) |                    |
| ۲/۳۱         | ۱۸۸/۸      | ۱۸۵               | ۱۹۲ | ۱۸۸ | ۱۹۰ | ۱۸۹ | ۱۶۰             | ۲۵         | لاک پودری پلی استر |
| ۳/۱۸         | ۱۸۹/۲      | ۱۸۳               | ۱۹۱ | ۱۹۲ | ۱۹۰ | ۱۹۰ | ۱۸۰             | ۲۰         |                    |
| ۲/۷۳         | ۱۸۸/۹      | ۱۸۸               | ۱۹۲ | ۱۹۰ | ۱۸۷ | ۱۸۶ | ۲۰۰             | ۱۵         |                    |
| ۰/۹۸         | ۱۸۲/۲      | ۱۸۲               | ۱۸۲ | ۱۸۴ | ۱۸۲ | ۱۸۱ | ۱۵۰             | ۳۰         | لاک پودری هیبرید   |
| ۰/۸۰         | ۱۸۵/۶      | ۱۸۴               | ۱۸۶ | ۱۸۶ | ۱۸۶ | ۱۸۶ | ۱۸۰             | ۲۰         |                    |
| ۲/۷۲         | ۱۸۵/۴      | ۱۸۸               | ۱۸۹ | ۱۸۳ | ۱۸۵ | ۱۸۲ | ۲۰۰             | ۱۵         |                    |

## نتیجه گیری

برای بدست آوردن پوشش محافظ مناسب برای سطوح فلزی که دارای بیشترین میزان مقاومت در برابر عوامل خورنده محیطی و بهترین خواص مکانیکی و ظاهری باشد، فرایند پخت باید بدقت کنترل شود. با استفاده از آزمون DSC، شرایط نسبی مناسب برای پخت پوششها پودری بدون رنگدانه بر پایه پلی استر و هیبرید اپوکسی - پلی استر بدست آمد. آزمونهای مکانیکی برای هر دو نوع پودر در شرایط مختلف نتایج مشابهی را بدست می‌دهند. نتایج آزمون پاشش مه نمک نشان می‌دهد که برنامه‌های مختلف پخت اثری بر مقاومت در برابر خوردگی پوشش ۲۰۰°C بعد از ۱۵ min بود. حال آنکه در نمونه پودری هیبرید نمونه پخت شده در پلی استر ندارد. بنابراین، با تعیین دما و زمان مناسب پخت، بسته به محدودیتهای دمایی (نظیر حساسیت گرمایی قطعه یا عدم وجود کوره‌ای با دمای بالا) و محدودیتهای زمانی (نظیر سرعت خط تولید) می‌توان برنامه دما - زمان مناسبی انتخاب کرد که بهترین خواص مکانیکی و در نتیجه بیشترین میزان شبکه‌ای شدن، از پوشش پودری بهتر نمونه پودری است. آزمون جریان پذیری نشان می‌دهد که با افزایش دمای پخت، میزان سیالیت و همترازی پودر بهبود می‌یابد.

## آزمونهای مکانیکی

نتایج حاصل از اندازه گیری سختی برای نمونه‌های پخت شده در دمای زمانهای مختلف در جدول ۶ آمده است. معیار سختی فیلم پخت شده، تعداد نوسانات آونگ است. اندازه گیری سختی نشان می‌دهد که در نمونه لاکها، شرایط پخت هیچ اثری بر سختی آنها ندارد.

نتایج حاصل از آزمونهای ضربه و جامی شدن برای لاکهای پودری پلی استر و هیبرید مختلف پخت شده در دمای زمانهای مختلف در جدول ۷ نشان داده شده است.

نتایج آزمونهای تعیین سختی، مقاومت در برابر ضربه، خمس مخروطی و جامی شدن نشان می‌دهد که پخت در شرایط دما - زمان مختلف بدست آمده از آزمونهای DSC، اثری بر خواص مکانیکی فیلم پخت شده نداشته است. بنابراین، با تعیین دما و زمان مناسب پخت، بسته به محدودیتهای دمایی (نظیر حساسیت گرمایی قطعه یا عدم وجود کوره‌ای با دمای بالا) و محدودیتهای زمانی (نظیر سرعت خط تولید) می‌توان برنامه دما - زمان مناسبی انتخاب کرد که بهترین خواص مکانیکی و در نتیجه بیشترین میزان شبکه‌ای شدن، از پوشش پودری مورد استفاده بدست آید.

## مراجع

1. Misev T.A., *Powder Coatings: Chemistry and Technology*, John Wiley and Sons, UK, 1-79, 1991.
2. Gherlone L., Rossini T. and Stula V., Powder Coatings and Differential Scanning Calorimetry: The Perfect Fit, *Prog. Org. Coat.*, **34**, 57-63, 1998.
3. Belder E.G., Rutten H.J.J. and Perra D.Y., Cure Characterization of Powder Coatings, *Prog. Org. Coat.*, **42**, 142-149, 2001.
4. Ishrat Ali S. and Nadeem M., Investigation of the Cure Behavior of an Epoxy-Polyester Powder Coating, *Proceedings of 2nd International Symposium on Advanced Material*, 539-545, 1993.
5. Vander L.R. and Belder E.G., Thermal Analysis of the Curing of Polyester Powder Coatings with Epoxies, *Ind. Eng. Chem.*, **48**, 359-379, 1986.
6. Delange P.G., Film Formation and Rheology of Powder Coatings, *J. Coat. Technol.*, **56**, 23-33, 1984.
7. Fisher G.C. and McKinney L.M., New Epoxy Resin For Ultra-Smooth Hybrid Powder Coatings, *J. Coat. Technol.*, **60**, 134-142, 1988.
8. Adams D.C., Cure Behavior of Unsaturated Polymer Resin Composites, *J. Compos. Mater.*, **15**, 510-520, 1992 .